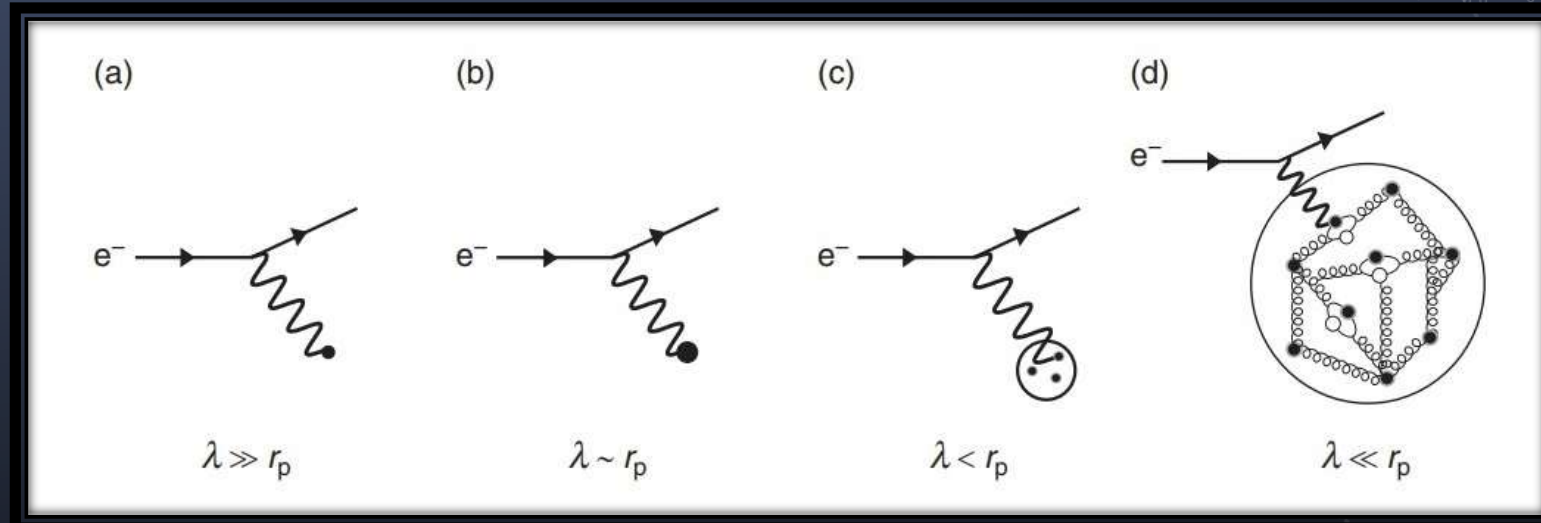
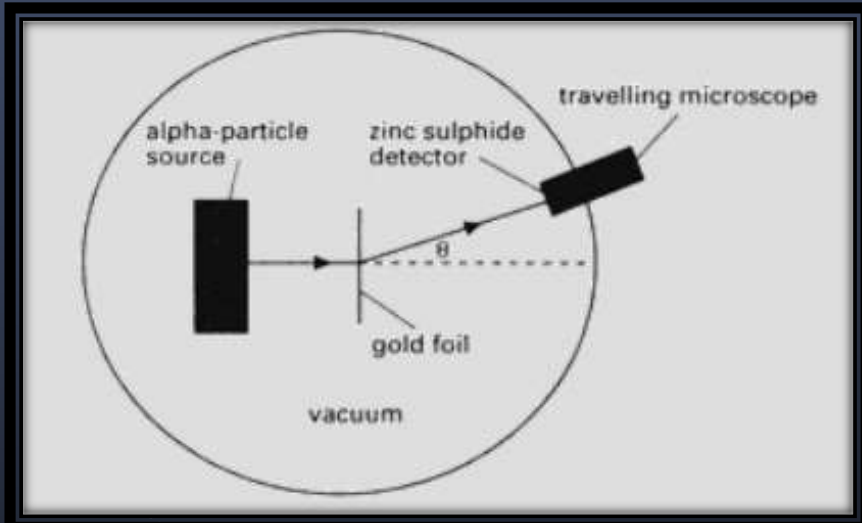


Razotkrivanje strukture hadrona gausijanskim procesom

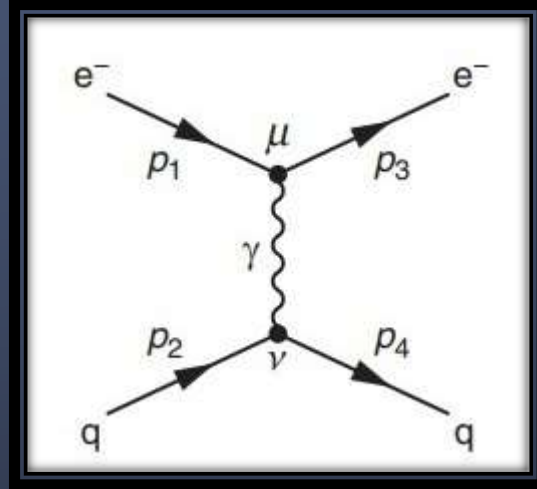
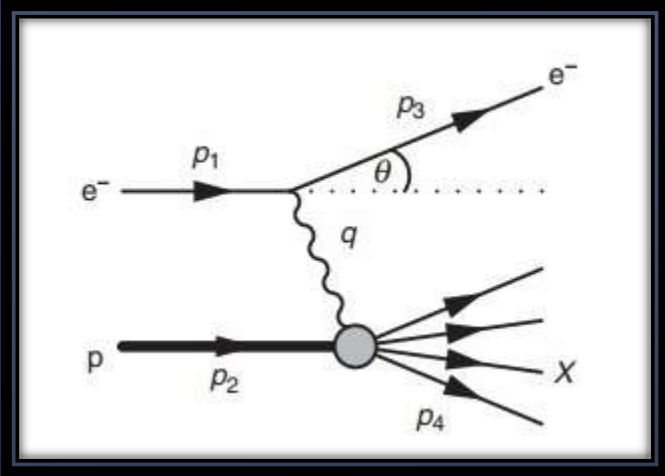
Andrija Radočaj

Procesi raspršenja

- E. Rutherford 1909. godina – struktura atoma
- SLAC 1960.-ih godina – struktura protona



Duboko neelastično raspršenje



- Kinematičke varijable x, Q^2, y, v
- Partonske distribucijske funkcije $q^p(x)$ – raspodjela impulsa

$$\frac{d^2\sigma}{dxdQ^2} = \frac{4\pi\alpha^2}{Q^4} \left[(1-y) + \frac{y^2}{2} \right] \sum_i Q_i^2 q_i^p(x)$$

Strojno učenje

MODEL + PARAMETRI

Učenje pod nadzorom

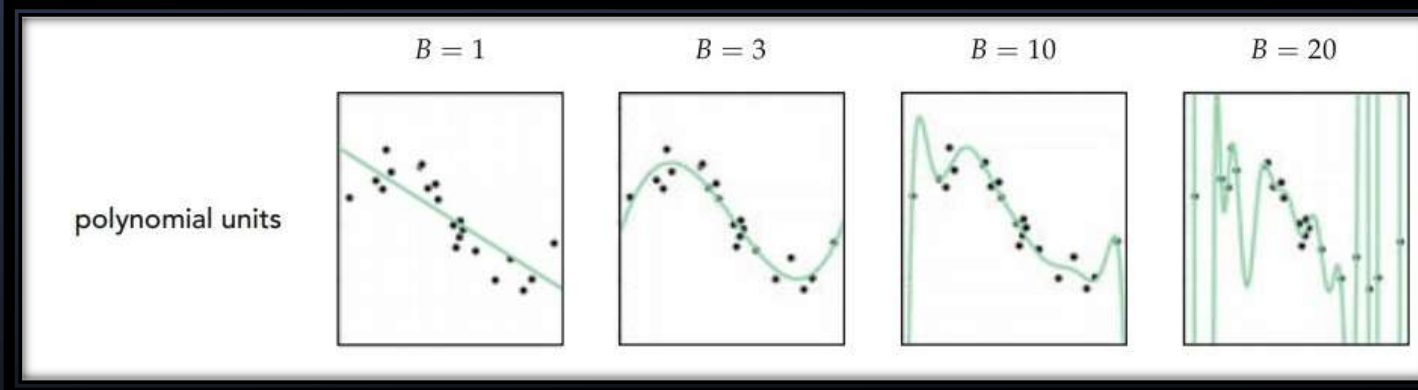
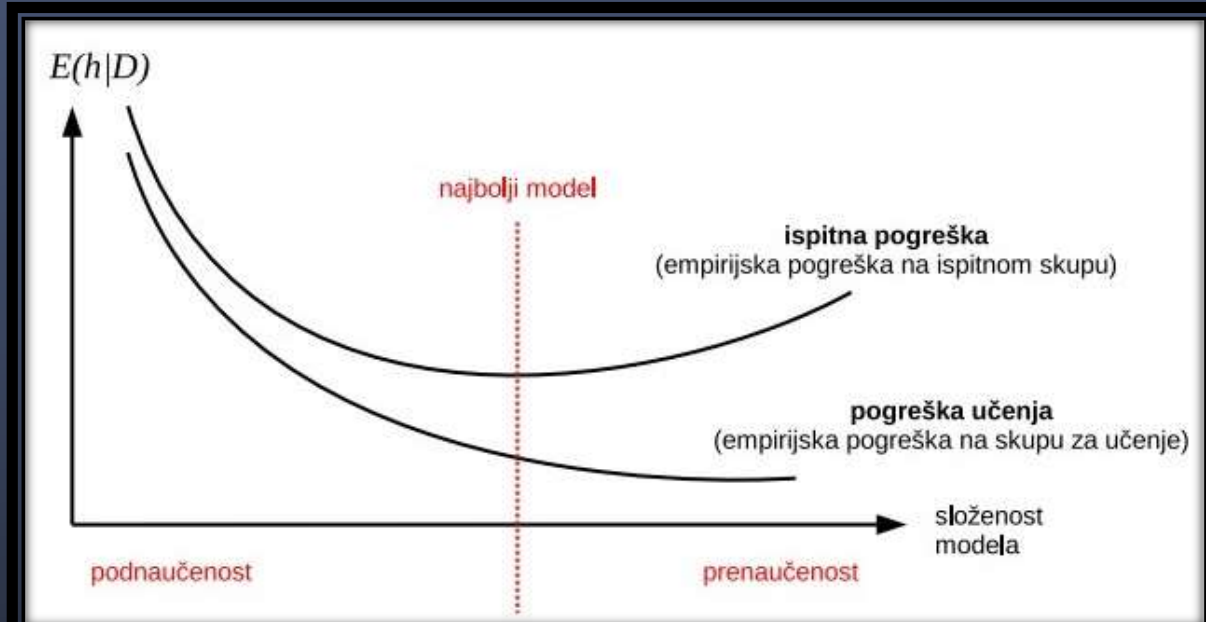
- Skup za učenje $\{(x_i, y_i), i = 1, \dots, n\}$
- Regresija, klasifikacija

Učenje bez nadzora

- Skup za učenje neoznačen

Optimizacija modela

- Minimizacija funkcije gubitka/pogreške



Gradijentni spust (1)

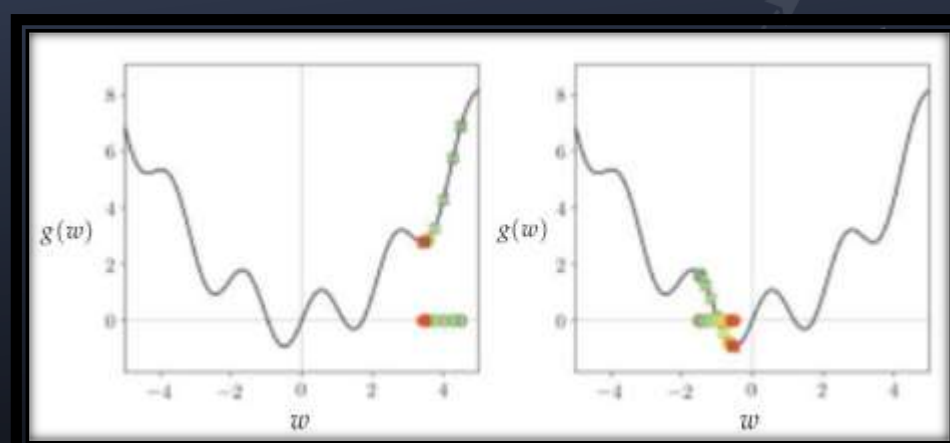
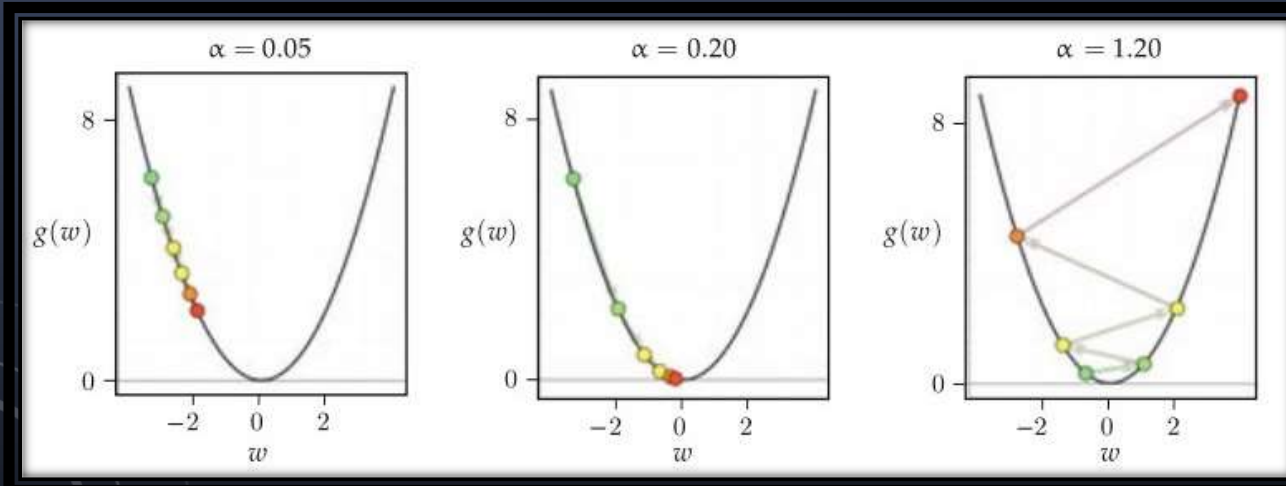
Ulas: skup za učenje (X, Y) , diferencijabilna funkcija $\mathcal{L}(X, Y, \vec{w})$, stopa učenja $\eta^{(i)}$, početna parametarska točka $\vec{w}^{(0)} = (w_1^{(0)}, \dots, w_n^{(0)})$

1. $i = 0$
2. **while** uvjet zaustavljanja nije ispunjen **do**:
3. Računanje $\nabla_{\vec{w}} \mathcal{L}(X, Y, \vec{w}^{(i)})$
4. Nadogradnja $\vec{w}^{(i+1)} = \vec{w}^{(i)} - \eta^{(i)} \nabla_{\vec{w}} \mathcal{L}(X, Y, \vec{w}^{(i)})$
5. $i \leftarrow i + 1$
6. **end while**

Gradijentni spust (2)

Mogući uvjeti zaustavljanja while petlje:

- $\left\| \nabla_{\vec{w}} \mathcal{L}(X, Y, \vec{w}^{(i)}) \right\|_2 \approx 0$
- $\left\| \vec{w}^{(i+1)} - \vec{w}^{(i)} \right\|_2 \approx 0$
- $| \mathcal{L}(X, Y, \vec{w}^{(i+1)}) - \mathcal{L}(X, Y, \vec{w}^{(i)}) | \approx 0$



Gausijanski proces

- Skup nasumičnih varijabli $\vec{f}_D = (f_1, \dots, f_D) = (f(\vec{x}_1), \dots, f(\vec{x}_D))$, svaki njihov konačan broj čini multivarijantnu Gaussovou raspodjelu
- Multivarijantna Gaussova raspodjela za D-dim nasumični vektor:

$$\vec{f}_D \sim \mathcal{N}_D(\vec{\mu}, \Sigma)$$
$$\vec{\mu} = E[\vec{f}] = (E(f_1), \dots, E(f_D))^T = (E[f(\vec{x}_1)], \dots, E[f(\vec{x}_D)])^T \equiv (\mu(\vec{x}_1), \dots, \mu(\vec{x}_D))^T$$
$$\Sigma_{i,j} = E[(f(\vec{x}_i) - \mu_i)(f(\vec{x}_j) - \mu_j)] = Cov[f(\vec{x}_i), f(\vec{x}_j)] = k(\vec{x}_i, \vec{x}_j)$$

- Gausijanski proces: $f(\vec{x}) \sim \mathcal{GP}(\mu(\vec{x}), k(\vec{x}, \vec{x}'))$

$$\star exp.\quad quad(\vec{x}, \vec{x}'; l) = \exp\left(-\frac{1}{2l^2} |\vec{x} - \vec{x}'|^2\right)$$

Regresija gausijanskikh procesa (1)

$$\{(\vec{x}_i, y_i) | i = 1, \dots, n\}, \quad y_i = f(\vec{x}_i) + \varepsilon$$

$$cov(y_i, y_j) = k(\vec{x}_i, \vec{x}_j) + \sigma_n^2 \delta_{i,j} \rightarrow cov(\vec{y}) = K(X, X) + \sigma_n^2 I$$

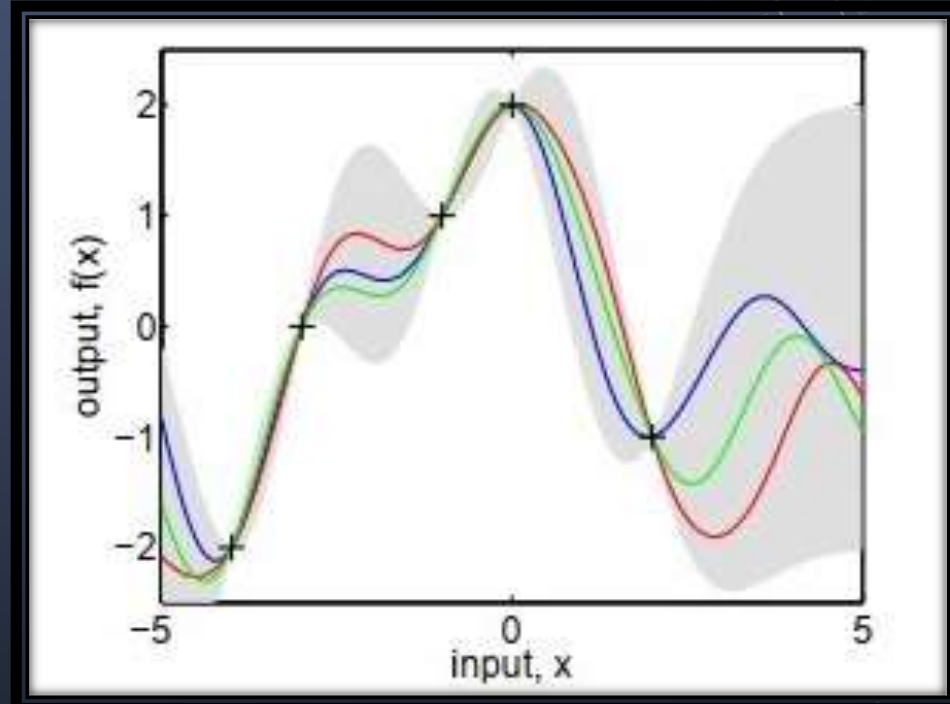
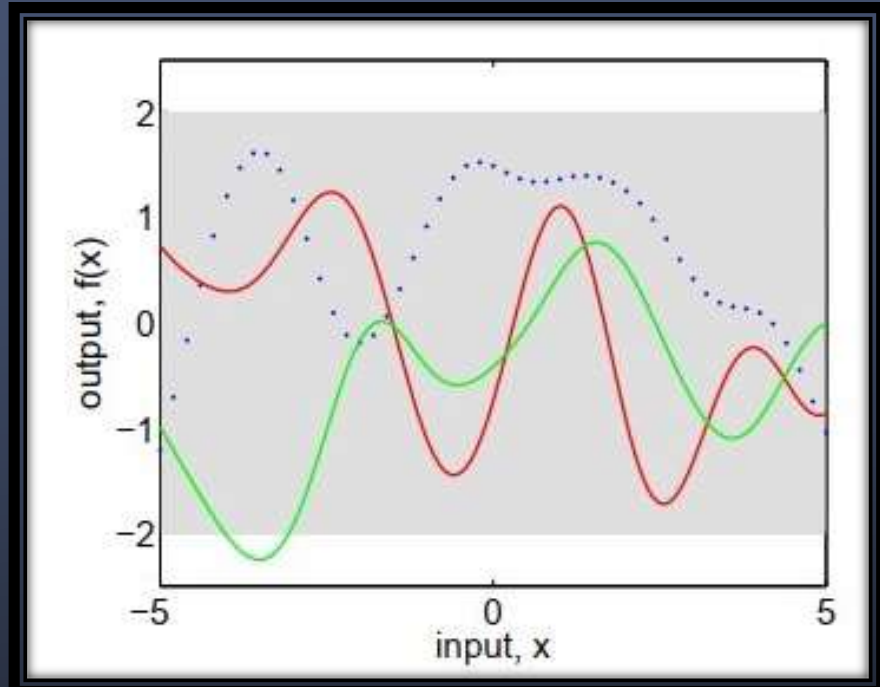
$$\begin{bmatrix} \vec{y} \\ \vec{f}_* \end{bmatrix} \sim \mathcal{N} \left(\vec{0}, \begin{bmatrix} K(X, X) + \sigma_n^2 I & K(X, X_*) \\ K(X_*, X) & K(X_*, X_*) \end{bmatrix} \right)$$

$$\vec{f}_* | X, \vec{y}, X_* \sim \mathcal{N} \left(\overline{\vec{f}}_*, cov(\vec{f}_*) \right)$$

$$\star \quad \overline{\vec{f}}_* = K(X_*, X)[K(X, X) + \sigma_n^2 I]^{-1} \vec{y}$$

$$\star \quad cov(\vec{f}_*) = K(X_*, X_*) - K(X_*, X)[K(X, X) + \sigma_n^2 I]^{-1} K(X, X_*)$$

Regresija gausijanskih procesa (2)



$$\vec{f}_* \sim \mathcal{N}(\vec{0}, \text{exp. quad}(x, x'; l = 1))$$

$$\vec{f}_* \sim \mathcal{N}(\vec{0}, \text{exp. quad}(x, x'; l = 1))$$

+ mjerena bez greški

Granična vjerojatnost

Prepostavljeni model: $\vec{f}|X \sim \mathcal{N}_n(\vec{0}, K_{\vec{w}})$

$$y_i = f(x_i) + \varepsilon \rightarrow \vec{y}|\vec{f}, X \sim \mathcal{N}_n(\vec{f}, \sigma_n^2 I)$$

$$p(\vec{y}|X) = \int p(\vec{y}|\vec{f}, X) p(\vec{f}|X) d\vec{f}$$

☀ $\ln[p(\vec{y}|X)](\vec{w}) = -\frac{1}{2}\vec{y}^T(K_{\vec{w}} + \sigma_n^2 I)^{-1}\vec{y} - \frac{1}{2}\ln|K_{\vec{w}} + \sigma_n^2 I| - \frac{n}{2}\ln(2\pi)$

☀ $\mathcal{L}(\vec{w}) = (-1) \cdot \ln[p(\vec{y}|X)](\vec{w}) \rightarrow$ funkcija gubitka

Pojednostavljenje problema ekstrakcije

$$\star \frac{d\sigma_1}{dx} = h_1(x)[0] \cdot dquark_{truth}(x) + h_1(x)[1] \cdot gluon_{truth}(x)$$

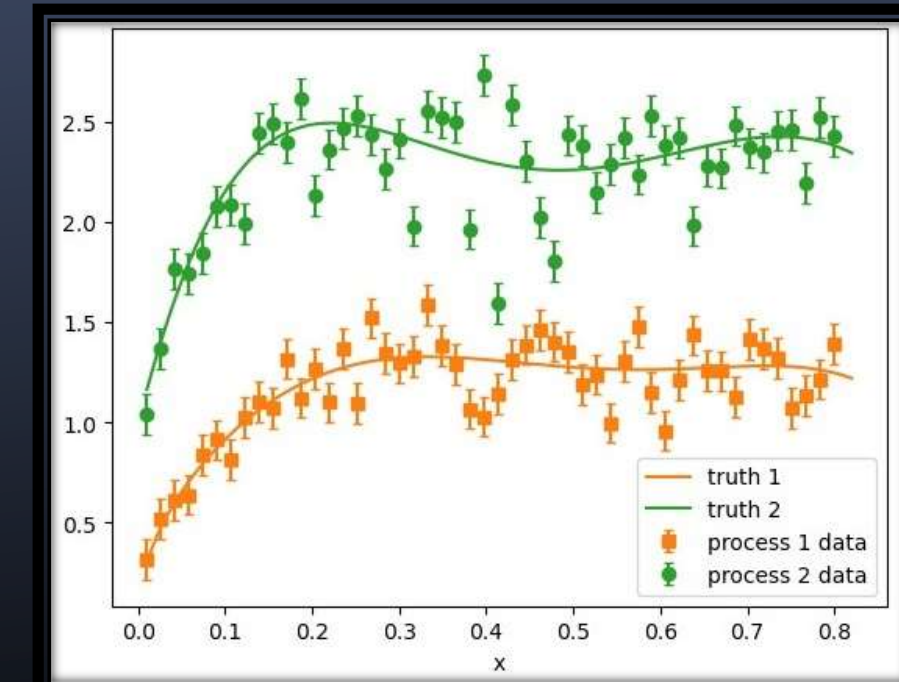
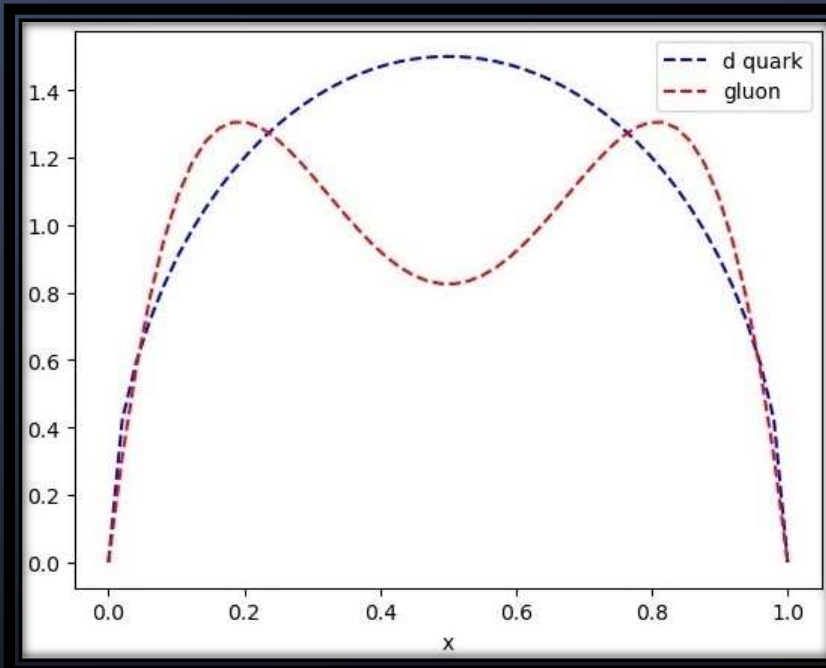
$$\star \frac{d\sigma_2}{dx} = 1 + h_2(x)[0] \cdot dquark_{truth}(x) + h_2(x)[1] \cdot gluon_{truth}(x)$$

$$h_1(x) = \left[\frac{1}{1+x}, \frac{x}{1+x} \right] , \quad h_2(x) = \left[\frac{x}{1+x^2}, \frac{1}{1+x^2} \right]$$

Simulacija eksperimentalnih podataka

$$dquark_{truth}(x) = 3\sqrt{x \cdot (1 - x)}$$

$$gluon_{truth}(x) = 6x \cdot (1 - x) \cdot \left(1 + 0.3 \cdot C_2^{(1.5)}(2x - 1) \right)$$



PDF - nezavisni gausijanski procesi (1)

☀️ dquark $\rightarrow \text{exp. quad}(x, x'; l_1)$

☀️ gluon $\rightarrow \text{exp. quad}(x, x'; l_2)$

$$\frac{d\sigma_1}{dx} = h_1(x)[0] \cdot dquark_{truth}(x) + h_1(x)[1] \cdot gluon_{truth}(x)$$

↳
$$\begin{aligned} cov_1(x, x') &= h_1(x)[0]h_1(x')[0] \cdot \text{exp. quad}(x, x'; l_1) \\ &\quad + h_1(x)[1]h_1(x')[1] \cdot \text{exp. quad}(x, x'; l_2) \end{aligned}$$

$$\frac{d\sigma_2}{dx} - 1 = h_2(x)[0] \cdot dquark_{truth}(x) + h_2(x)[1] \cdot gluon_{truth}(x)$$

↳
$$\begin{aligned} cov_2(x, x') &= h_2(x)[0]h_2(x')[0] \cdot \text{exp. quad}(x, x'; l_1) \\ &\quad + h_2(x)[1]h_2(x')[1] \cdot \text{exp. quad}(x, x'; l_2) \end{aligned}$$

PDF - nezavisni gausijanski procesi (2)

$$\begin{cases} \frac{d\sigma_1}{dx} = h_1(x)[0] \cdot dquark_{truth}(x) + h_1(x)[1] \cdot gluon_{truth}(x) \\ \frac{d\sigma_2}{dx} - 1 = h_2(x)[0] \cdot dquark_{truth}(x) + h_2(x)[1] \cdot gluon_{truth}(x) \end{cases}$$

↳
$$cov_{12}(x, x') = h_1(x)[0]h_2(x')[0] \cdot exp. quad(x, x'; l_1) + h_1(x)[1]h_2(x')[1] \cdot exp. quad(x, x'; l_2)$$

↳
$$cov_{21}(x, x') = h_2(x)[0]h_1(x')[0] \cdot exp. quad(x, x'; l_1) + h_2(x)[1]h_1(x')[1] \cdot exp. quad(x, x'; l_2)$$

Matrica kovarijance

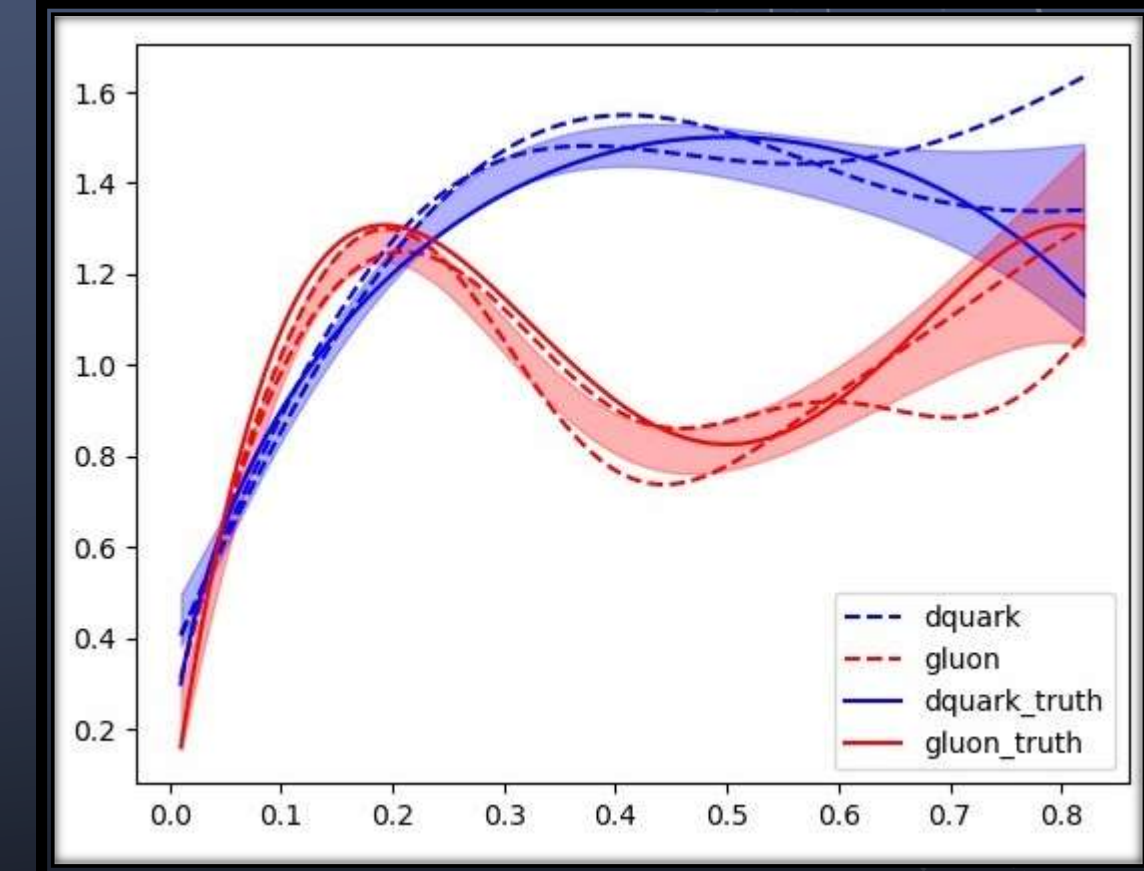
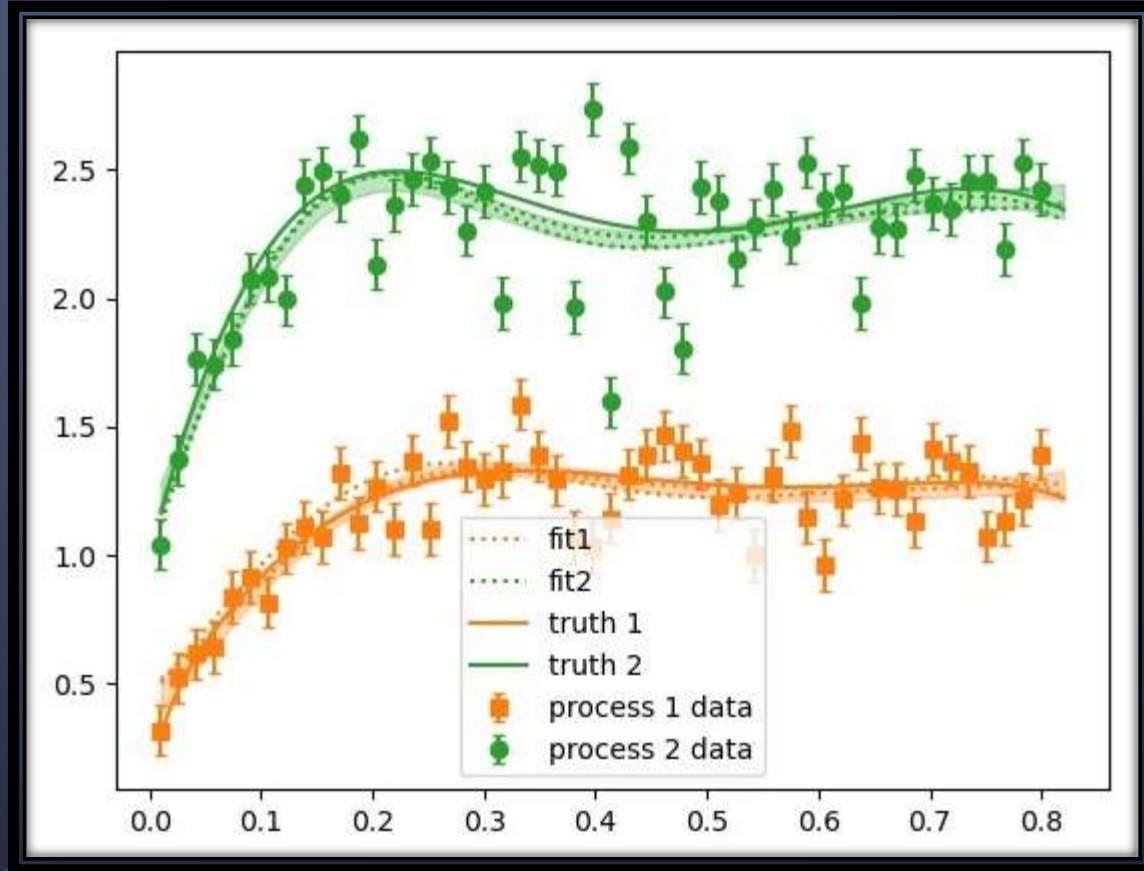
☀ $\vec{y} = [y_1^1, \dots, y_n^1, y_1^2 - 1, \dots, y_n^2 - 1]^T,$

y_i^p - srednja vrijednost mjerjenja za $\frac{d\sigma_p}{dx}\Big|_{x_i}$;

☀ $K = \begin{bmatrix} cov_1(x_1, x_1) & \cdots & cov_1(x_1, x_n) & cov_{12}(x_1, x_1) & \cdots & cov_{12}(x_1, x_n) \\ \vdots & \ddots & \vdots & \vdots & \ddots & \vdots \\ cov_1(x_n, x_1) & \cdots & cov_1(x_n, x_n) & cov_{12}(x_n, x_1) & \cdots & cov_{12}(x_n, x_n) \\ cov_{21}(x_1, x_1) & \cdots & cov_{21}(x_1, x_n) & cov_2(x_1, x_1) & \cdots & cov_2(x_1, x_n) \\ \vdots & \ddots & \vdots & \vdots & \ddots & \vdots \\ cov_{21}(x_n, x_1) & \cdots & cov_{21}(x_n, x_n) & cov_2(x_n, x_1) & \cdots & cov_2(x_n, x_n) \end{bmatrix}$

$\vec{y}; K = K \begin{pmatrix} l_1 \\ l_2 \end{pmatrix} = K(\vec{w}) \rightarrow$ podatci za funkciju gubitka \rightarrow optimizacija \vec{w}

Rezultati



Prilagodba nakon optimizacije → Ekstrakcija rješavanjem sustava

Zaključak

- Metoda ekstrakcije pdf-a iz podataka dif. udarnog presjeka:
 1. Pojednostavljenje problema
 2. Simulacija podataka dif. udarnog presjeka zadavanjem pdf-a (Python) → cilj replikacija zadanih pdf-a
 3. Modeliranje pdf-a kao gausijanskih procesa (lsqfitgp paket)
 4. Optimizacija parametara matrice kovarijance na simulirane podatke (lsqfitgp paket)
 5. Prilagodba na simulirane podatke (lsqfitgp paket)
 6. Ekstrakcija pdf-a (lsqfitgp paket) → obećavajući rezultati
- Preinake i nadogradnje → primjena u istraživanju

Literatura

- [1] A. Isaacs, *Oxford Dictionary of Physics*. Oxford University Press, 2000.
- [2] M. Thomson, *Modern Particle Physics*. Cambridge University Press, 2013.
- [3] J. Šnajder, Bilješke s predavanja – strojno učenje. Dostupno na: https://www.fer.unizg.hr/predmet/struce1/materijali/#%23!p_rep_142310!_-210848.
- [4] J. Watt, R. Borhani i A. K. Katsaggelos, *Machine Learning Refined: Foundations, Algorithms and Applications*. Cambridge University Press, 2020.
- [5] C. E. Rasmussen i C. K. I. Williams, *Gaussian Processes for Machine Learning*. The MIT Press, 2006.
- [6] lsqfitgp Manual. Dostupno na: <https://gattocrucco.github.io/lsqfitgp/docs/>.